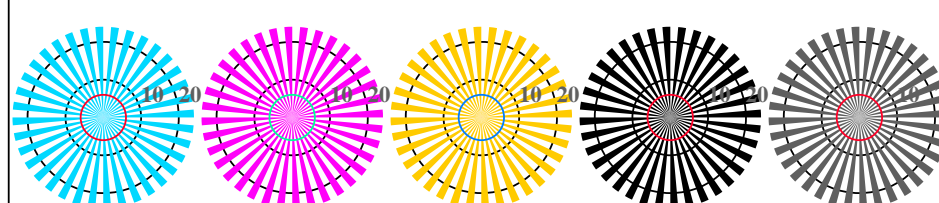


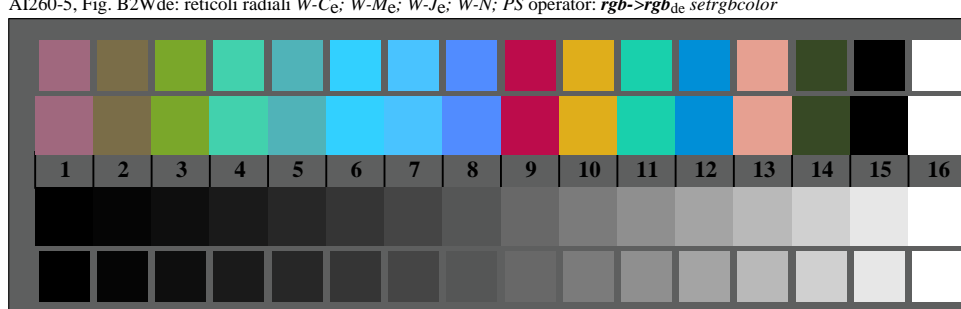
iscrizione TUB: 20190301-AI26/AI26L0FA.TXT/.PS
 Application per la misura dell'output di display et output di stampa

TUB materiale: code=rha4ta

vedi file simili: <http://farbe.li.tu-berlin.de/AI26/AI26.HTM>
 informazioni tecniche: <http://farbe.li.tu-berlin.de/o> <http://farbe.li.tu-berlin.de/AE.HTM>

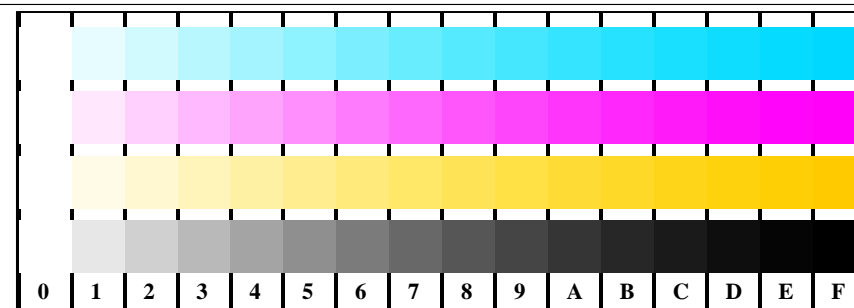


AI260-5, Fig. B2Wde: reticolli radiali $W-C_e$; $W-M_e$; $W-J_e$; $W-N$; PS operator: $rgb \rightarrow rgb_{de}$ setrgbcolor



AI260-7, Fig. B3Wde: 14 prova colori CIE i 2 + 16 grigio passi (sf); $rgb/cmy0 \rightarrow rgb_{de}$ setrgbcolor

Grafico AI26 conformemente a grafico 2 a ISO/IEC 15775
 Tavola dei colori cromatici CMYK



AI261-1, Fig. B4Wde: 16 equidistante passi $W-C_e$; $W-M_e$; $W-J_e$; $W-N$; $rgb/cmy0 \rightarrow rgb_{de}$ setrgbcolor

++..	C	O	O	O	O	lmno	O	O	O	O	pqr	O	O	O	O	tuvw	O	O	O	O
xyz;	C	O	O	O	O	hijk	O	O	O	O	lmno	O	O	O	O	lmno	O	O	O	O
tuvw	C	O	O	O	O	defg	O	O	O	O	hijk	O	O	O	O	hijk	O	O	O	O
pqrs	C	O	O	O	O	!abc	O	O	O	O	defg	O	O	O	O	defg	O	O	O	O
lmno	C	O	O	O	O	+-.	O	O	O	O	!abc	O	O	O	O	!abc	O	O	O	O
hijk	C	O	O	O	O	xyz;	O	O	O	O	xyz;	O	O	O	O	xyz;	O	O	O	O
defg	C	O	O	O	O	tuvw	O	O	O	O	tuvw	O	O	O	O	tuvw	O	O	O	O
!abc	C	O	O	O	O	pqrs	O	O	O	O	pqrs	O	O	O	O	pqrs	O	O	O	O
10	N	C	e	M	e	Y	e	Z		10	N	C	e	M	e	Y	e	Z		

AI261-3, Fig. B5Wde: codice i Landolt anelli N; C_e ; M_e ; Y_e ; Z; PS operator: $rgb \rightarrow rgb_{de}$ setrgbcolor

	0-1	7-8	E-F	2-0	8-6	F-D		0-1	7-8	E-F	2-0	8-6	F-D	
anelli di Landolt $W-C_e$	Code						anelli di Landolt $W-M_e$	Code						
0-1	O	O	O	O	O	O	0-1	O	O	O	O	O	O	0-1
7-8	O	O	O	O	O	O	7-8	O	O	O	O	O	O	7-8
E-F	O	O	O	O	O	O	E-F	O	O	O	O	O	O	E-F
2-0	O	O	O	O	O	O	2-0	O	O	O	O	O	O	2-0
8-6	O	O	O	O	O	O	8-6	O	O	O	O	O	O	8-6
F-D	O	O	O	O	O	O	F-D	O	O	O	O	O	O	F-D

AI261-5, Fig. B6Wde: anelli di Landolt $W-C_e$; $W-M_e$; PS operator: $rgb \rightarrow rgb_{de}$ setrgbcolor

	0-1	7-8	E-F	2-0	8-6	F-D		0-1	7-8	E-F	2-0	8-6	F-D	
anelli di Landolt $W-J_e$	Code						anelli di Landolt $W-N$	Code						
0-1	O	O	O	O	O	O	0-1	O	O	O	O	O	O	0-1
7-8	O	O	O	O	O	O	7-8	O	O	O	O	O	O	7-8
E-F	O	O	O	O	O	O	E-F	O	O	O	O	O	O	E-F
2-0	O	O	O	O	O	O	2-0	O	O	O	O	O	O	2-0
8-6	O	O	O	O	O	O	8-6	O	O	O	O	O	O	8-6
F-D	O	O	O	O	O	O	F-D	O	O	O	O	O	O	F-D

AI261-7, Fig. B7Wde: anelli di Landolt $W-J_e$; $W-N$; PS operator: $rgb \rightarrow rgb_{de}$ setrgbcolor

Input: $rgb/cmy0/000n/w$ set...
 Output: $\rightarrow rgb_{de}$ setrgbcolor